

室蘭工業大学 正員 松岡健一  
北海道大学 正員 能町純雄

**1. まえがき** 鉄筋コンクリートなどは、その一部を取り出し、モデル化して考えれば、異なる材料で同じに二相同心円柱と考えることもよまる。この動的な問題の解析は、これまでこれ程多く行はれることははないようである。著者等は、これまで二相同心円柱を伝わる弹性波の問題を解析してきた。<sup>(1,2)</sup> 本論文は、この振動問題の基本的なものとして、両端が単純に支持された同心円柱が、周期的な外力をうける場合の解析を行はるものであり、円柱内部の変形および応力状態を求め、これに検討を加えたものである。

**2. 基礎方程式のフーリエ・ハンケル変換による解** 二相同心円柱は、円筒と円柱を組合せて解析することができるが、円柱の解析は円筒から導くことができるが、それが円筒の解を示す。この場合の解は、円筒の半径方向を  $r$ 、接線方向を  $\theta$ 、軸方向を  $z$ 、それ以外の方向の変位成分を  $U, V, W$  とし、外力を周期的な力で定常状態に限定するものとすれば、円柱座標で表わされる多元運動方程式からフーリエ・ハンケル変換により

$$U = \frac{2}{\pi C} \sum_{n=1}^{\infty} \sum_{m=-\infty}^{\infty} C_m (\widehat{A}_{mnr} + \widehat{B}_{mnr}) \cos m\theta \sin Nz e^{i\omega t} \quad (1)$$

$$V = \frac{2}{\pi C} \sum_{n=1}^{\infty} \sum_{m=-\infty}^{\infty} (\widehat{A}_{mnr} - \widehat{B}_{mnr}) \sin m\theta \sin Nz e^{i\omega t} \quad (2)$$

$$\begin{aligned} \widehat{A}_{mnr} &= \sum_{k=1}^{\infty} \left\{ \frac{1}{N_k} \chi_{mp}^{(k)}(Nr) \left[ \frac{1}{2\mu} \alpha_{mnk} + (m+1) A_{mnk} \right. \right. \\ &\quad \left. \left. + (m-1) B_{mnk} + \frac{N}{2} E_{mnk} \right] + \frac{4N^2}{\rho \omega^2} \left\{ \frac{1}{N_k} \chi_{mp}^{(k)}(Nr) \right. \right. \\ &\quad \left. \left. - \frac{N_k}{N^2} \chi_{mp}^{(k)}(Nr) \right\} \left\{ \frac{1}{2\mu} \beta_{mnk} + (m+1) A_{mnk} - (m-1) B_{mnk} \right. \right. \\ &\quad \left. \left. + N E_{mnk} \right\} \right\} \quad (3) \end{aligned}$$

$$\begin{aligned} \widehat{B}_{mnr} &= \sum_{k=1}^{\infty} \left[ -\frac{1}{N_k} \chi_{ms}^{(k)}(Nr) \left\{ \frac{1}{2\mu} \alpha_{mnk} + (m+1) A_{mnk} \right. \right. \\ &\quad \left. \left. + (m-1) B_{mnk} - \frac{N}{2} E_{mnk} \right\} + \frac{4N^2}{\rho \omega^2} \left\{ \frac{1}{N_k} \chi_{ms}^{(k)}(Nr) \right. \right. \\ &\quad \left. \left. - \frac{N_k}{N^2} \chi_{ms}^{(k)}(Nr) \right\} \left\{ \frac{1}{2\mu} \beta_{mnk} + (m+1) A_{mnk} - (m-1) B_{mnk} \right. \right. \\ &\quad \left. \left. + N E_{mnk} \right\} \right] \quad (4) \end{aligned}$$

$$W = \frac{2}{\pi C} \sum_{n=0}^{\infty} \sum_{m=-\infty}^{\infty} C_n \widetilde{C}_n \widetilde{W}_{mnr} \cos m\theta \cos Nz e^{i\omega t} \quad (5)$$

$$\begin{aligned} \widetilde{W}_{mnr} &= \sum_{k=1}^{\infty} \left[ G_m^{(k)}(Nr) E_{mnk} - \frac{2UN}{\rho \omega^2} \left\{ G_m^{(k)}(Nr) \right. \right. \\ &\quad \left. \left. - G_m^{(k)}(Nr) \right\} \left\{ \frac{1}{2\mu} \beta_{mnk} + (m+1) A_{mnk} - (m-1) B_{mnk} \right. \right. \\ &\quad \left. \left. + N E_{mnk} \right\} \right] \quad (6) \end{aligned}$$

ここで、 $C$  は円筒の長さ、 $C_0 = 1/2$ 、 $C_1 = C_2 = \dots = 1$ 、

$N = n\pi/C$ 、( $m, n = 0, 1, 2, \dots$ )、であり、 $\rho$  は円筒の密度、 $\omega$  は外力の円振動数であり。

$$N_m^2 = N^2 - \rho \omega^2 / \mu, \quad N_k^2 = N^2 - \rho \omega^2 / (2\mu + \lambda)$$

$\mu, \lambda$  は Lamé の弾性定数。また式中の関数は、ハンケル変換の逆変換公式よりえられるもので、円筒の外半径を  $a_1$ 、内半径を  $a_2$  とすれば、

$$\begin{aligned} G_m^{(k)}(Nr) &= R_{m,mr}^{(k)}(Nr) / R_{m,mr}^{(k)}(Na_k), \\ \chi_{mp}^{(k)}(Nr) &= R_{m,mr}^{(k)}(Nr) / R_{m,mr}^{(k)}(Na_k), \end{aligned} \quad \left. \right\} \quad (a)$$

$$\begin{aligned} \chi_{ms}^{(k)}(Nr) &= R_{m,mr}^{(k)}(Nr) / R_{m,mr}^{(k)}(Na_k), \\ R_{j,m}^{(k)}(Nr) &= I_j^{(k)}(Nr) K_m(Na_{k-1}) - (-)^{j+m} I_m(Na_{k-1}) J_j^{(k)}(Nr), \end{aligned} \quad \left. \right\} \quad (b)$$

$$j = m-1, m, m+1, \quad a_2 = a,$$

式中の係数  $\alpha_{mnk}, \beta_{mnk}, A_{mnk}, B_{mnk}, E_{mnk}$  は、円筒の内外面の応力や変位を与えられる未知定数である。

また、式(1)～(6)で与えられる解は、式から明らかなように、円筒の両端面 ( $z=0, c$ ) で次の条件を満足する場合である。

$$(U)_{z=0, c} = U_{z=0, c} = 0_{z=0, c} = 0 \quad (c)$$

この条件は一種の単純支持の条件である。この他の条件の場合はまた別な形で求められると、ここでは一般的な解の形を省略する。

上の解は円筒を対象としていたが、円柱の場合も同じように求められ、式(3), (4), (6)で  $a_2 = 0$  とするところによりえられ、このとき  $k = 1$  のみとなり、式中の関数も (b) 式で

$$R_{j,m}^{(k)}(Nr) = R_{j,m}^{(1)}(Nr) = I_j^{(1)}(Nr) \quad (d)$$

とおくことにより与えられる。また式(6), (d) の  $I$ ,  $K$  は変形オーバー種およびオーバー種のベッセル関数である。

この円筒の解と円柱の解を組合せて、各境界の境界条件を満足するように未知定数を求めるこにより、各変位成分が求められ、フーリエの法則から応力成分を求めることができる。

### 3. 境界条件

二相同心円柱は

図-1 に示すように、円柱をとり

まいて弾性定数の異なる材料で

きに円筒が、同心円柱に重ねられ

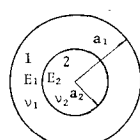


図-1 二相同心円柱

でいるものとする。いま、円筒の弾性定数、変位応力など全てのものを添字1、円柱のものを添字2で表すものとする。まず境界条件を考えるに先だら式の諸導過程から、次の適合条件を満足しなければならない。

### 1) 円筒に対して

$$\alpha_k A_{mn1,1} = \tilde{A}_{mn1,1})_{r=a_k} \quad k=1, 2. \quad (7)$$

$$\alpha_k B_{mn1,1} = \tilde{B}_{mn1,1})_{r=a_k} \quad k=1, 2. \quad (8)$$

### 2) 円柱に対して

$$\beta_2 A_{mn1,2} = \tilde{A}_{mn1,2})_{r=a_2} \quad (9)$$

$$\beta_2 B_{mn1,2} = \tilde{B}_{mn1,2})_{r=a_2} \quad (10)$$

次に境界条件は

3)  $r=a_1$  における条件： 円筒の外周には半径方向の周期的力のみが作用するものとすれば

$$i) \tilde{U}_{r1})_{r=a_1} = P(\theta, z)$$

$$\therefore \beta_{mn1,1} = \int_0^{2\pi/c} P(\theta, z) \cos m\theta \sin Nz d\theta ds. \quad (11)$$

$$ii) \tilde{T}_{r1})_{r=a_1} = 0, \quad \therefore \alpha_{mn1,1} = 0 \quad (12)$$

$$iii) \tilde{\tau}_{r1})_{r=a_1} = 0. \quad (13)$$

4)  $r=a_2$  における条件： 円柱と円筒の接觸面では変位およびこの面の応力が等しいものとすれば

$$iv) U_r)_{r=a_2} = U_r)_{r=a_2}, \quad V_r)_{r=a_2} = V_r)_{r=a_2}$$

$$\therefore A_{mn2,1} = A_{mn1,2}, \quad B_{mn2,1} = B_{mn1,2} \quad (14)$$

$$v) W_r)_{r=a_2} = W_r)_{r=a_2}, \quad \therefore E_{mn2,1} = E_{mn1,2} \quad (15)$$

$$vi) \tilde{U}_{r1})_{r=a_2} = \tilde{U}_{r2})_{r=a_2}, \quad \therefore \beta_{mn2,1} = \beta_{mn1,2} \quad (16)$$

$$vii) \tilde{T}_{r1})_{r=a_2} = \tilde{T}_{r2})_{r=a_2}, \quad \therefore \alpha_{mn2,1} = \alpha_{mn1,2} \quad (17)$$

$$viii) \tilde{\tau}_{r1})_{r=a_2} = \tilde{\tau}_{r2})_{r=a_2} \quad (18)$$

以上の条件から未知定数を求め、変位および応力を求めることとなる。

**4. 数値計算例** 数値計算例として、簡単な場合の結果を示す。外力は円筒軸に対して対称 ( $m=0$ ) で、円筒の長さの方向に  $\sin$  分布しているものとする。すばやく  $P(\theta, z) = P \sin(\pi z/c)$ 。また計算に用いた数値は、ボアソン比  $\nu_1 = 1/6$ ,  $\nu_2 = 0.3$ , ヤング係数比  $E_2/E_1 = 7.0$ , 密度比  $\rho_2/\rho_1 = 3.2$  で  $a_2/a_1 = 0.25$  である。外力の周期 ( $T = 2\pi/\omega$ ) と円柱の長さ  $c$  を変化させて計算した結果を図-2～4に示す。図中では、円筒部と同じ材料の弾性体を伝わるせん断波が円柱を往復する時間で、せん断波の速度を  $V_S$  といふ。

$$V_S = 2c/V_3 = 2c\sqrt{\rho_1/\mu_1}$$

である。図には  $z=0$  における軸方向変位  $w$  (図-2)

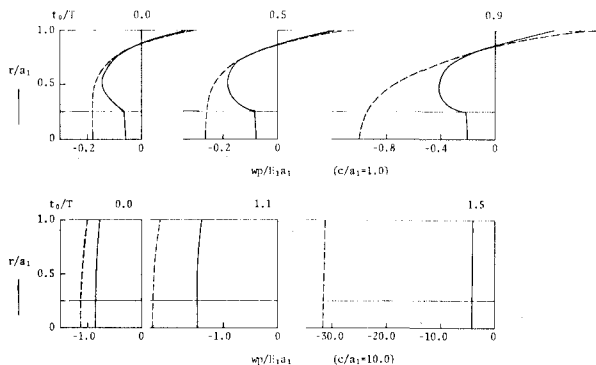


図-2 軸方向変位  $w$  の  $r$  方向の変化 ( $z=0$ )

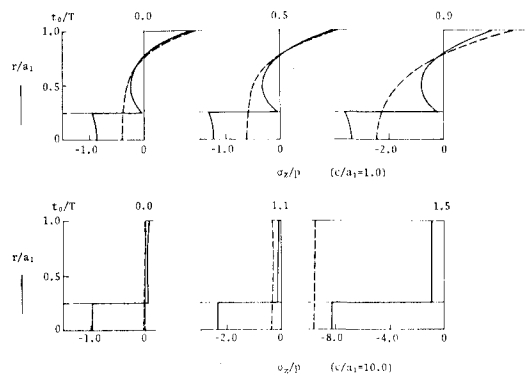


図-3 軸方向応力  $\sigma_z$  の  $r$  方向の分布 ( $z=0.5$ )

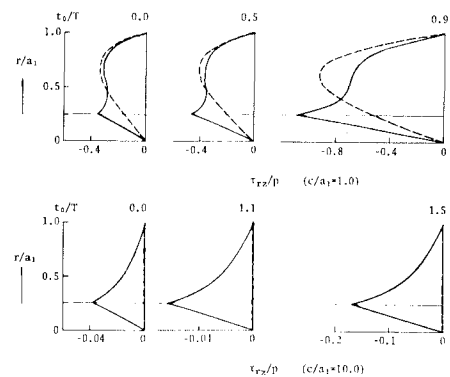


図-4 せん断応力  $\tau_{rz}$  の  $r$  方向の分布 ( $z=0$ )

とせん断応力  $\tau_{rz}$  (図-4) の半径方向の分布と  $z=0$  における  $\tilde{U}_r$  の半径方向の分布 (図-3) を示した。いずれも周期が大きくなれば、各々の応答値は大きくなるが特に円柱と円筒の接觸面におけるせん断応力が非常に大きくなることがわかる。

\*参考文献 1) 松岡・能町・土木学会地盤反発部会論文集、第3号 p.94, 1979. 2) 松岡・能町・土木学会第34回年次学術講演概要集、p.495